УЛК 577.218

ТОЧЕЧНЫЕ МУТАЦИИ В М-ДОМЕНЕ PCID2 НАРУШАЮТ ЕГО ФУНКЦИИ В ЭКСПОРТЕ мРНК Y DROSOPHILA MELANOGASTER

© 2024 г. Ю. А. Вдовина, академик РАН С. Г. Георгиева, Д. В. Копытова*

Поступило 15.04.2024 г. После доработки 03.05.2024 г. Принято к публикации 07.05.2024 г.

Белок PCID2 входит в состав комплекса TREX-2 эукариот, отвечающего за экспорт мРНК из ядра в цитоплазму. Panee, мы показали, что PCID2 D. melanogaster участвует в специфичном распознавании мРНК и выявили ключевые аминокислоты, отвечающие за взаимодействие с РНК гена ras2. В данной работе мы показываем, что точечные мутации данных аминокислот нарушают взаимодействие белка с РНК клетки и экспорт полиА- содержащей мРНК из ядра в цитоплазму в клетках D. melanogaster.

Ключевые слова: PCID2, TREX-2, экспорт мРНК, транскрипция

DOI: 10.31857/S2686738924050013

Ядерная фаза экспрессии генов завершается экспортом зрелых мРНК через ядерные поры в цитоплазму [1]. Комплекс TREX-2 представленный у всех эукариот, отвечает за экспорт мРНК. а также выполняет ряд других биологических функций, включая предотвращение нестабильности генома [2–7]. Кроме того, в почкующихся дрожжах комплекс TREX-2 опосредует локализацию активно экспрессируемых генов, таких как GAL1, а у многоклеточных способствует как локализации, так и обеспечению быстрого перемещения к ядерным порам и ядерному экспорту мРНК генов БТШ [4, 7-11]. Нокдаун субъединиц комплекса приводит к перераспределению мРНК, которая в норме локализуется большей частью в цитоплазме, а при нокдауне субъединиц комплекса задерживается в ядре [4, 7, 11]. У D. melanogaster комплекс TREX-2 состоит из четырех белков: Xmas-2, PCID2, ENY2 и Sem1p [4, 12, 13].

распознавании мРНК в составе комплекса участвует белок PCID2 [14]. PCID2 содержит два домена взаимодействия с мРНК, которые располагаются в М- и С-концевой части белка. Домен, локализованный на C-конце PCID2, специфично

Недавно было показано, что в специфичном

связывает фрагмент 3'-некодирующий области мРНК гена ras2. А делеция С-концевой последовательности PCID2 приводит к нарушению экспорта мРНК из ядра в цитоплазму [15]. Был также найден ранее неизвестный домен, находящийся в центральной части белка (М), неспецифично взаимодействующий с мРНК. Точечные мутации в M-домене PCID2 приводили к резкому снижению взаимодействия PCID2 с ras2 мРНК [14].

В данной работе мы исследовали влияют ли эти мутации в белке на взаимодействие белка с РНК в клетке, а не только в системе *in vitro*. Кроме того, мы предполагали выяснить, влияет ли это на связывание с широким спектром РНК (с которым взаимодействует PCID2). Также была цель изучить влияние данных мутаций на общий экспорт мРНК из ялра в нитоплазму.

Консервативные аминокислоты, отвечающие по нашим результатам за взаимодействие с PHK ras2, находятся в положениях Arg191 и Arg216 (Рис. 1a).

Каждая аминокислота была заменена на Ala в мутантных белках (PCID2^{R191A} и PCID2^{R216A}). На рис. 16 представлена предсказанная структура белка PCID2 D. melanogaster, на которой отмечены заменяемые аминокислоты. Обе аминокислоты находятся в канавке, участвующей во взаимодействии PCID2 с PHK. Как было показано в предыдущей работе, эти замены приводят к резкому снижению связывания PCID2 с PHK гена ras2 in vitro.

Федеральное государственное учреждение науки Институт Молекулярной Биологии Российской академии наук, Москва, Российская Федерация

^{*}e-mail: d dmitrieva@mail.ru



Рис. 1. Предсказанные сайты связывания с PHK на молекуле PCID2. (а) Эволюционное выравнивание последовательности M-домена PCID2 у некоторых видов эукариот. Аминокислоты, замененные в мутантных белках $PCID2^{R191A}$ и $PCID2^{R216A}$, выделены и обведены в рамку. (б) Предсказанная структура PCID2 *D. melanogaster* из базы данных AlphaFold Protein Structure Database. Аминокислоты в M-домене белка, замененные в мутантных белках $PCID2^{R191A}$ и $PCID2^{R216A}$, указаны на предсказанной структуре PCID2.

На первом этапе работы было проверено, нарушают ли данные мутации связывание PCID2 с PHK клетки. Для этого культуру клеток S2 растили в среде с добавлением 5-этинилуридина 2 часа [13]. Тотальную PHK, меченную 5-этинилуридином и биотином, выделяли из клеток на колонках со стрептавидин-агарозой [13]. Далее, одинаковое количество меченой PHK, иммобилизованной на стрептавидин-агарозе, инкубировали с лизатами белков PCID2 дикого типа или мутированных форм PCID2^{R191A} и PCID2^{R216A}, наработанными в бактериальной системе (рис. 2а).

В аналогичном эксперименте меченную тотальную РНК инкубировали с экстрактом клеток, трансформированных конструкциями для экспрессии PCID2 дикого типа или мутированных форм PCID2: PCID2^{R191A} и PCID2^{R216A} (рис. 26). После инкубации материал отмывали от несвязавшегося белка высоко-солевым раствором, содержащим 500 мМ КСІ. Ассоциированные с РНК белки детектировали с помощью разделения

в ПААГ и вестерн-блот гибридизации с антителами к PCID2 (рис. 2a, 6).

Эксперимент по взаимодействию тотальной РНК клетки с формами PCID2, экспрессированными в бактериях, показал, что белок PCID2 дикого типа, как и мутантные формы, связываются с РНК. Однако, мутантные формы PCID2 хуже осаждались за РНК, что говорит об их худшем связывании. Связывание обоих мутантных белков с новосинтезированной РНК было слабее по сравнению с контролем. Однако мутация R216A приводила к наибольшему ослаблению взаимодействия (рис. 2 а,б), что соответствует результатам, полученным ранее [14]. При инкубации тотальной меченной РНК с ядерными экстрактами клеток, в которых экспрессировали PCID2, PCID2^{R191A} или $PCID2^{R216A}$, были получены аналогичные результаты (рис. 2 б). Таким образом, можно заключить, что мутации данных аминокислот нарушают связывание PCID2 с PHK в белковом экстракте аналогично тому, как это было показано in vitro. Более того, данные мутации нарушают связывание

2024

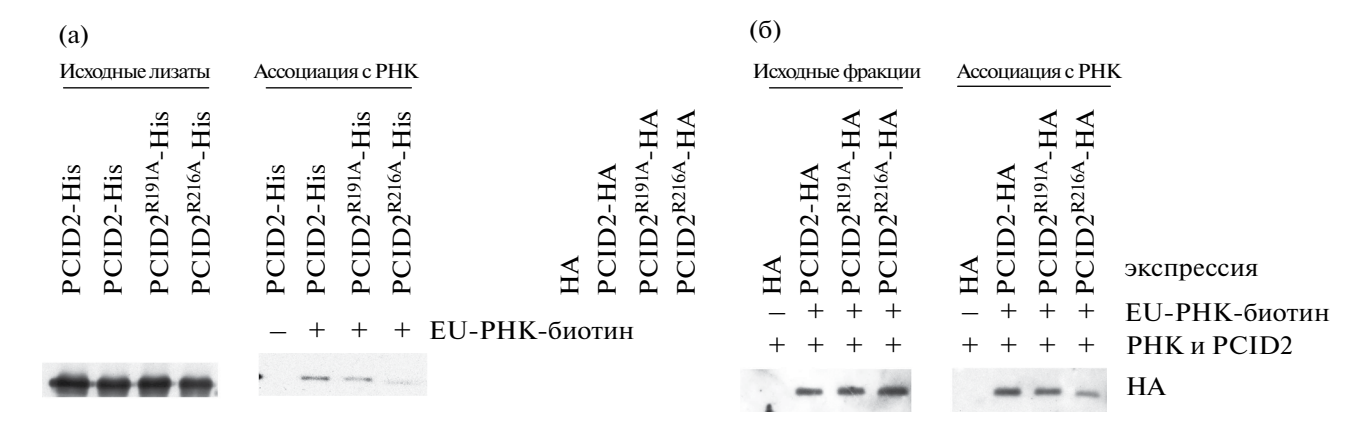


Рис. 2. Нарушение ассоциации PCID2 с точечными мутациями в М-домене с новосинтезированной PHK. Меченную биотином EU-PHK инкубировали с лизатами клеток, содержащих PCID2, или PCID2^{R191A}, или PCID2^{R216A}, экспрессированными в (а) бактериальной системе и (б) в S2 клетках *D. melanogaster*. Меченная биотином EU-PHK со связавшимися белками была иммобилизована на стрептавидин-агарозе. Ассоциированные с PHK белки детектировали вестерн-блот анализом.

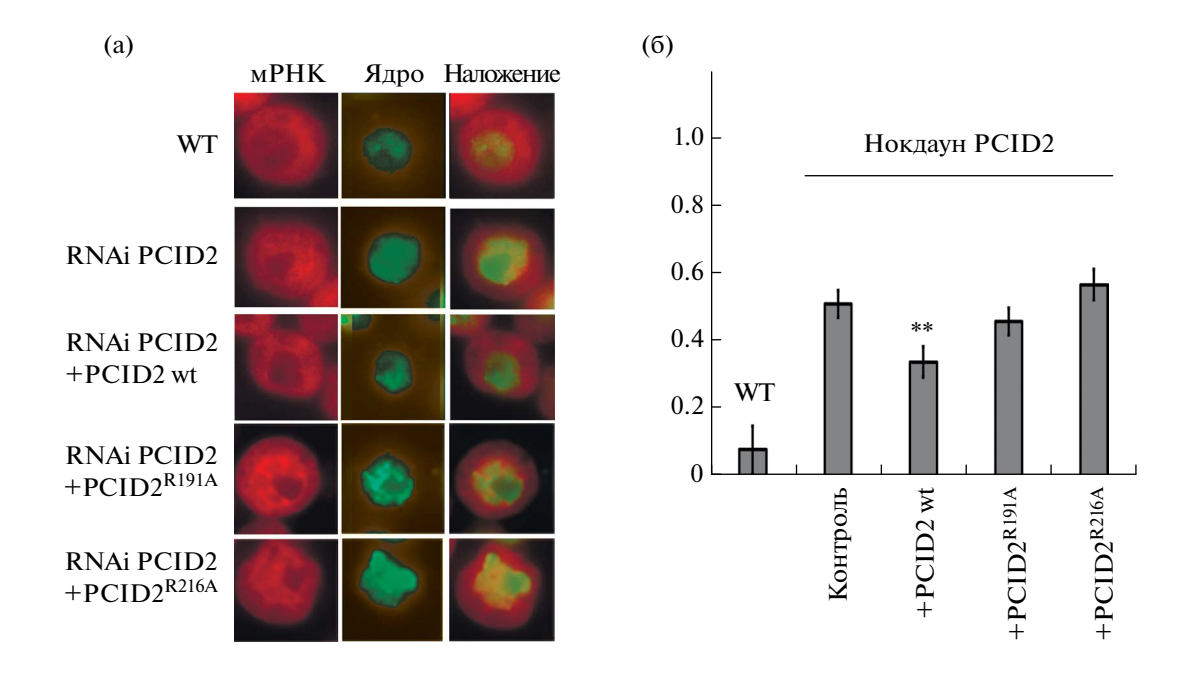


Рис. 3. PCID2 с точечными мутациями в M-домене не способен выполнять свои функции в экспорте мPHK. (а) Распределение мPHK в S2 клетках в контрольных клетках (wt) и при нокдауне PCID2 (контроль). В экспериментах клетки, в которых проводился нокдаун PCID2, были трансфецированы полноразмерным PCID2 или PCID2^{R191A}, или PCID2^{R216A}. Примеры распределения мPHK (красное окрашивание) и клеточных ядер (зеленое окрашивание) и соответствующие слитые изображения показаны для контрольных клеток и клеток после нокдауна PCID2 и трансфекции с PCID2wt, PCID2^{R191A}, PCID2^{R216A} (увеличение, x1000). Для выявления поли(A) PHK проводили PHK FISH с использованием меченного Cy3-олиго-dT праймера. Ядра окрашивали DAPI. Изображения были перекрашены в программе Photoshop для лучшей визуализации. (б) Процент клеток, в которых мPHK оставалась в ядре. На гистограмме представлены результаты эксперимента, описанного на Рисунке 3а. Каждый эксперимент был проведен в четырех повторах. В каждой реплике вслепую подсчитывали около 200 клеток и вычисляли среднее значение. Сравнение между экспериментальными группами проводилось с помощью t-критерия Стьюдента. Все данные представлены как средние \pm SD (столбцы ошибок) не менее чем для четырех независимых экспериментов. Звездочки указывают на то, что данные статистически значимы при *P < 0,05 или **P < 0,01.

с тотальной РНК, а не только для РНК *ras2*, для которой это было показано ранее *in vitro*.

Влияние мутантных белков на экспорт мРНК было изучено на клетках S2 *D. melanogaster*. В клетках был проведен нокдаун эндогенного белка PCID2 методом РНК интерференции. Распределение мРНК в клетке выявлялось с помощью FISH с меченным Cy3-oligo-dT праймером [4]. В контрольных клетках основная часть мРНК выявлялась в цитоплазме (рис. 3а), в то время как при нокдауне PCID2 мРНК перераспределялась, концентрируясь в ядре и вокруг ядра в цитоплазме, демонстрируя паттерн распределения, показанный ранее [12].

Чтобы понять, влияют ли исследуемые мутации PCID2 на экспорт мРНК, в клетках с нокдауном эндогенного PCID2 были экспрессированы полноразмерный PCID2 дикого типа, мутантный белок PCID2^{R191A} или мутантный белок PCID2^{R216A}, слитые с HA-эпитопом.

При нокдауне PCID2 51% клеток имеют нарушения в экспорте мРНК (рис. 36). При экспрессии в клетках с нокдауном эндогенного PCID2 рекомбинантного PCID2, количество клеток с нарушениями уменьшалось до 34%, что указывает на его способность восстанавливать экспорт мРНК. Наоборот, экспрессия мутантного белка PCID2^{R191A} только незначительно восстанавливала экспорт мРНК: количество клеток с нарушениями уменьшалось до 46%. При экспрессии белка PCID2^{R216A} количество клеток с нарушениями даже незначительно увеличивалось (до 57%), сами же клетки теряли свою округлую форму (рис. 3а, б). Эти эксперименты показывают, что мутантные формы PCID2, R191A и R216A, не способны заменить эндогенный PCID2 в ядерном экспорте мРНК.

Таким образом, роль аминокислот Arg191 и Arg216 М-домена PCID2 во взаимодействии с ras2 мРНК, показанная ранее в системе *in vitro*, подтвердилась на экспериментах, проведенных в клетке на полиА-содержащей мРНК. Более того, нарушение этого взаимодействия приводит к нарушению экспорта мРНК в ядре. Данные результаты показывают, что правильное взаимодействие М-домена PCID2 с молекулой РНК, необходимо для работы всего комплекса экспорта мРНК TREX-2.

БЛАГОДАРНОСТИ

Работа была выполнена с использованием оборудования ЦКП ИМБ РАН.

ИСТОЧНИК ФИНАНСИРОВАНИЯ

Работа была выполнена при поддержке гранта РНФ № 22-14-00270.

КОНФЛИКТ ИНТЕРЕСОВ

Конфликт интересов отсутствует.

СОБЛЮДЕНИЕ ЭТИЧЕСКИХ НОРМ И СТАНДАРТОВ

Данная статья не содержит исследований с участием животных или людей, проведенных кем-либо из авторов.

СПИСОК ЛИТЕРАТУРЫ

- 1. *Kramer S*. Nuclear mRNA maturation and mRNA export control: from trypanosomes to opisthokonts. // Parasitology. England, 2021. Vol. 148, № 10. P. 1196–1218.
- 2. Wilmes G.M. et al. A genetic interaction map of RNA-processing factors reveals links between Sem1/Dss1-containing complexes and mRNA export and splicing. // Molecular cell. United States, 2008. Vol. 32, № 5. P. 735–746.
- 3. Santos-Pereira J.M. et al. A genome-wide function of THSC/TREX-2 at active genes prevents transcription-replication collisions. // Nucleic acids research. England, 2014. Vol. 42, № 19. P. 12000–12014.
- 4. *Kurshakova M.M. et al.* SAGA and a novel Drosophila export complex anchor efficient transcription and mRNA export to NPC // EMBO Journal. 2007. Vol. 26. № 24.
- 5. *Lu Q. et al.* Arabidopsis homolog of the yeast TREX-2 mRNA export complex: components and anchoring nucleoporin. // The Plant journal: for cell and molecular biology. England, 2010. Vol. 61, № 2. P. 259–270.
- 6. Fischer T. et al. The mRNA export machinery requires the novel Sac3p-Thp1p complex to dock at the nucleoplasmic entrance of the nuclear pores. // The EMBO journal. England, 2002. Vol. 21, № 21. P. 5843–5852.
- 7. Rodríguez-Navarro S. et al. Sus1, a functional component of the SAGA histone acetylase complex and the nuclear pore-associated mRNA export machinery. // Cell. United States, 2004. Vol. 116, № 1. P. 75–86.
- 8. Chekanova J.A. et al. Sus1, Sac3, and Thp1 mediate post-transcriptional tethering of active genes to the nuclear rim as well as to non-nascent mRNP. // RNA (New York, NY). 2008. Vol. 14, № 1. P. 66–77.
- 9. *Ellisdon A.M. et al.* Structural basis for the assembly and nucleic acid binding of the TREX-2 transcription-export complex. // Nature structural & molecular biology. United States, 2012. Vol. 19, № 3. P. 328–336.
- 10. *Fischer T. et al.* Yeast centrin Cdc31 is linked to the nuclear mRNA export machinery. // Nature cell biology. England, 2004. Vol. 6, № 9. P. 840–848.
- 11. *Jani D. et al.* Functional and structural characterization of the mammalian TREX-2 complex that links transcription with nuclear messenger RNA export. //

- Nucleic acids research. England, 2012. Vol. 40, № 10. P. 4562-4573.
- 12. Glukhova A.A. et al. PCID2, a subunit of the Drosophila TREX-2 nuclear export complex, is essential for both mRNA nuclear export and its subsequent cytoplasmic trafficking // RNA Biology. United States, 2021. Vol. 18, № 11. P. 1969–1980.
- 13. Kopytova D. et al. ORC interacts with THSC/TREX-2 and its subunits promote Nxf1 association with mRNP and mRNA export in Drosophila // Nucleic Acids Research. 2016. Vol. 44, № 10.
- 14. Vdovina Y.A. et al. PCID2 Subunit of the Drosophila TREX-2 Complex Has Two RNA-Binding Regions. // Current issues in molecular biology. Switzerland, 2023. Vol. 45, № 7. P. 5662-5676.
- 15. Vdovina Y.A., Georgieva S.G., Kopytova D.V. Interaction of mRNA with the C-Terminal Domain of PCID2, a Subunit of the TREX-2 Complex, Is Required for Its Export from the Nucleus to the Cytoplasm in Drosophila melanogaster. // Doklady Biochemistry and biophysics. United States, 2023. Vol. 513, № 1. P. 328–331.

POINT MUTATIONS IN THE M-DOMAIN OF PCID2 IMPAIR ITS FUNCTION IN MRNA EXPORT IN DROSOPHILA MELANOGASTER

Y. A. Vdovina, Academician of the RAS S. G. Georgieva, D. V. Kopytova*

Institute of Molecular Biology, Russian Academy of Sciences, Moscow, Russian Federation #e-mail: d dmitrieva@mail.ru

PCID2 protein is a component of the eukaryotic TREX-2 complex responsible for mRNA export from the nucleus to the cytoplasm. Previously, we showed that PCID2 of D. melanogaster is involved in specific mRNA recognition and identified key amino acids responsible for interaction with the RNA of the ras2 gene. In this work, we show that point mutations of these amino acids disrupt the interaction of the protein with cellular RNA and the export of polyA-containing mRNA from the nucleus to the cytoplasm in Drosophila cells.

Keywords: PCID2, TREX-2, mRNA export, transcription